

AM 2C – Anotações 0: Cónicas

Felipe B. Pinto 61387 – MIEQB

31 de outubro de 2022

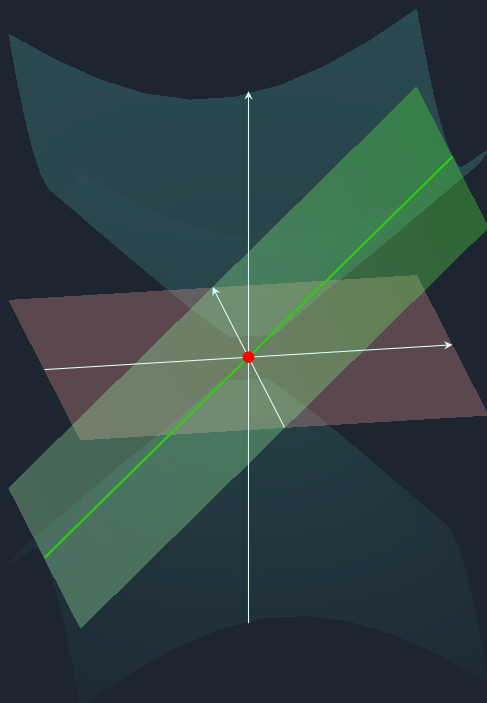
Conteúdo

1	Cônicas	2	6	Plano	10
2	Degeneração	4	7	Parabolas e Paraboloides .	11
3	Expressão geral	4	8	Elipse e Elipsóides	15
4	Espaço	6	9	Hiperboles e Hiperbolóides	19
5	Reta	7			

1 Cônicas

Definições

Intersecção de um plano com um cone



Focos e Diretrizes

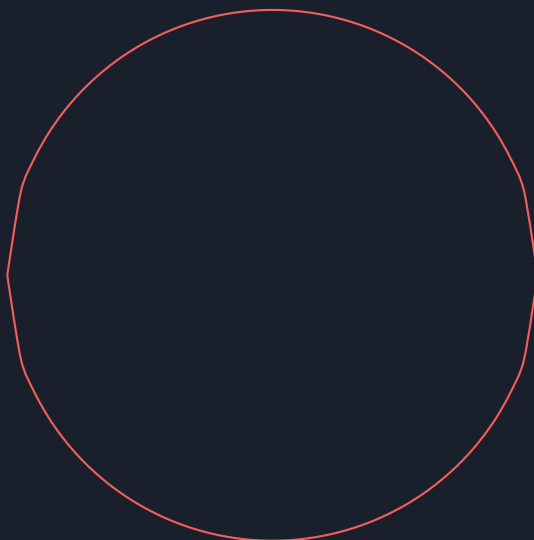
$$\mathcal{C}on_m \subset \mathbb{R}^m : |\overrightarrow{PF}| = e|\overrightarrow{PD}|$$

$$\left(\begin{array}{ll} P \in \mathcal{C}on_m & \wedge \\ \wedge F \in \mathbb{R}^m & \wedge \\ \wedge D \in \mathbb{R}^m & \wedge \\ \wedge e \in \mathbb{R} & \end{array} \right)$$

1.1 Ecentricidade

Podemos classificar as conicas em grupos distintos pela ecentricidade

$e = 0$	\implies	Circunferencia
$0 < e < 1$	\implies	Elipse
$e = 1$	\implies	Parabola
$e > 1$	\implies	Hipérbole
$\lim(e) = \infty$	\implies	Reta



Para encontrar a eccentricidade de uma conica podemos usar imagens simétricas de mesma eccentricidade para que esta seja nula

$$|\overrightarrow{PF_1}| / |\overrightarrow{PD_1}| = |\overrightarrow{PF_2}| / |\overrightarrow{PD_2}|$$

Notas:

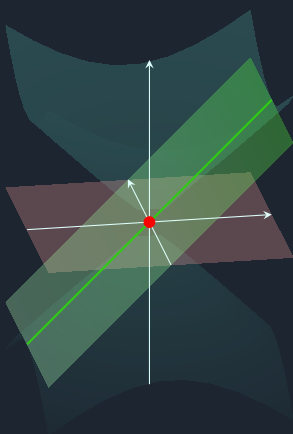
- Em parabolos temos $e = 1$ desnessitando tal ferramenta
- Em elipses a imagem da original é sobreposta com sua simétrica

2 Degeração

Quando o plano que intersecta a superfície cônica contém o vértice da superfície cônica está é considerada degenerada

Degeneradas

- Ponto
- Reta
- Módulo



Não Degeneradas

- Parábolas
- Elipses
- Hipérboles

3 Expressão geral

$$\mathcal{C}on_m \subset \mathbb{R}^n : \{(\lambda^T + (p - p')^T A)(p - p') = k \}$$

$$\left(\begin{array}{l} \{\lambda, p'\} \subset \mathbb{R}^n \\ \wedge p \in \mathcal{C}_m \\ \wedge A \in \mathcal{M}_{n \times n} \\ \wedge k \in \mathbb{R} \end{array} \wedge \right)$$

$$|\overrightarrow{PF}| = e |\overrightarrow{PD}| \Rightarrow$$

$$\Rightarrow \sqrt{(x - x')^2 + (y - (y' + c))^2} = e \sqrt{(x - x')^2 + (y - (y' - ec))^2} \dots$$

Forma canônica

$$\mathcal{C}on_m \subset \mathbb{R}^n : \{(\lambda^T + p^T A)p = k\}$$

$$\left(\begin{array}{l} \{\lambda, p'\} \subset \mathbb{R}^n \\ \wedge p \in \mathcal{C}on_m \\ \wedge A \in \mathcal{M}_{n \times n} : \{a_{i,j} = 0 \forall i \neq j\} \\ \wedge k \in \mathbb{R} \end{array} \wedge \right)$$

Despresa:

- Ponto central (p')
- Rotações (apenas matrizes A diagonais)

para \mathbb{R}^2 e $p' = 0_2$

$$\left(\begin{bmatrix} d \\ e \end{bmatrix}^T + \begin{bmatrix} x \\ y \end{bmatrix} \begin{bmatrix} a & c/2 \\ c/2 & b \end{bmatrix} \right) \begin{bmatrix} x \\ y \end{bmatrix} = -f \Rightarrow$$

$$\Rightarrow ax^2 + by^2 + cxy + dx + ey + f = 0$$

Para \mathbb{R}^3 e $p' = 0_3$

$$\left(\begin{bmatrix} g \\ h \\ i \end{bmatrix}^T + \begin{bmatrix} x \\ y \\ z \end{bmatrix}^T \begin{bmatrix} a & d/2 & e/2 \\ d/2 & b & f/2 \\ e/2 & f/2 & c \end{bmatrix} \right) \begin{bmatrix} x \\ y \\ z \end{bmatrix} = -j \Rightarrow$$

$$\Rightarrow ax^2 + by^2 + cz^2 + dxy + exz + fyz +$$

$$+ gx + hy + iz + j = 0$$

4 Espaço

Equação vetorial

$$E_m \subset \mathbb{R}^n : \left\{ P = A + \sum_{i=1}^m \lambda_i U_i \right\}$$

$$\left(\begin{array}{l} \{P, A\} \subset E \quad \wedge \\ \wedge \quad \{i, n, m\} \subset \mathbb{N} \quad \wedge \\ \wedge \quad m \leq n \end{array} \right)$$

Equações paramétricas

$$P_i = A_i + \sum_{j=1}^m \lambda_{j,i} U_{j,i}$$

Exemplos

- $m = 0 \implies$ ponto
- $m = 1 \implies$ reta
- $m = 2 \implies$ plano

5 Reta

Equação vetorial

$$r \subset \mathbb{R}^n : \{P = A + \lambda U\}$$

$$\left(\begin{array}{l} \{P, A\} \in r \quad \wedge \\ \wedge U \in \mathbb{R}^n \setminus \{0_{\mathbb{R}^n}\} \quad \wedge \\ \wedge \lambda \in \mathbb{R} \end{array} \right)$$

Definem uma reta:

• 2 Pontos

• 1 Ponto e 1 vetor

Vetor diretor: Vetor não nulo paralelo a reta

Equações cartezianas

(i) Equações paramétricas

$$P_i = A_i + \lambda U_i \quad \forall i \leq n$$

(ii) Equações normais

$$\left\{ \begin{array}{l} P_i = A_i + \lambda U_i \quad \wedge \\ \wedge P_j = A_j + \lambda U_j \end{array} \right\} \Rightarrow \lambda = \frac{P_i - A_i}{U_i} = \frac{P_j - A_j}{U_j}$$

$$\left(\begin{array}{l} \{i, j\} \leq n \quad \wedge \\ \wedge \{U_i, U_j\} \neq 0 \end{array} \right)$$

(iii) Equações reduzidas

$$r \subset \mathbb{R}^n : \{P_i = A'_i + P_j U'_i\}$$

$$\left(\begin{array}{l} \{i, j\} \in \mathbb{N} \\ \wedge \{i, j\} \leq n \\ \wedge i \neq j \\ \wedge U'_i = U_i/U_j \\ \wedge A'_i = A_i - A_j U'_i \\ \wedge U_j \neq 0 \end{array} \quad \wedge \right)$$

$$\begin{aligned} & \left\{ \begin{array}{l} P_i = A_i + \lambda U_i \\ \wedge \lambda = (P_j - A_j)/U_j : U_j \neq 0 \end{array} \right\} \Rightarrow \\ & \Rightarrow P_i = A_i + U_i (P_j - A_j)/U_j = \\ & = A'_i + U'_i P_j : \left\{ \begin{array}{l} U'_i = U_i/U_j \\ \wedge A'_i = A_i - A_j U'_i \\ \wedge U_j \neq 0 \end{array} \right\} \end{aligned}$$

Reduzida pois possui uma equação a menos comparando com as equações cartezianas

6 Plano

Equação vetorial

$$\pi \in \mathbb{R}^n : \left\{ P = A + \sum_{j=1}^2 \lambda_j U_j \right\}$$

$$\left(\begin{array}{l} \{P, A\} \in \pi \quad \wedge \\ \wedge \{n, j\} \in \mathbb{N} \quad \wedge \\ \wedge n \geq 2 \quad \wedge \\ \wedge \lambda \in \mathbb{R}^2 \quad \wedge \\ \wedge U_j \in \mathbb{R}^n \forall j \end{array} \right)$$

Definem um plano:

- 3 Pontos
- 1 Ponto e 1 Vetor
- 1 Ponto e 2 vetores não paralelos

Vetores diretores: Vetores não nulos e não colineares paralelos ao plano.

Equações cartesianas

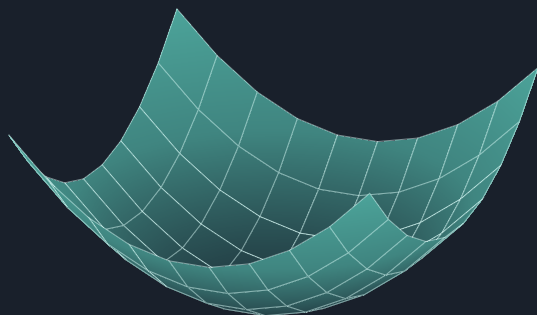
(i) Equações paramétricas

(ii) Equação geral

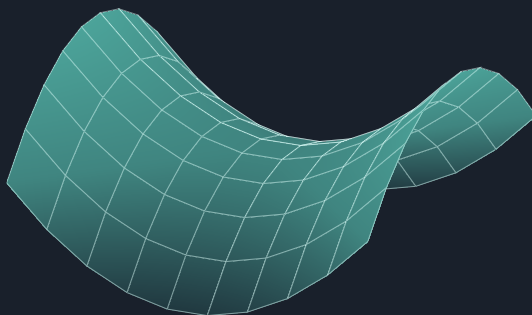
$$P_i = A_i + \sum_{j=1}^2 \lambda_{j,i} U_{j,i}$$

$$A + \sum_{i=1}^n \lambda_i P_i = 0$$

7 Parábolas e Paraboloides



Elíptico



Hiperbólico

Definição

$$\mathcal{P}ar_m \subset \mathcal{C}on_m : e = 1$$

Um conjunto que consiste em todos os pontos em um plano equidistantes de um determinado ponto fixo e uma determinada linha fixa no plano é uma parábola. O ponto fixo é o foco da parábola. A linha fixa é a diretriz.

7.1 Parábolas em \mathbb{R}^2

$$\begin{aligned}
 \mathcal{P}ar_2 \subset \mathcal{C}on_2 : (\lambda^T + (p - p')A)(p - p') &= k \implies \\
 \implies \left(\begin{bmatrix} 0 \\ -1 \end{bmatrix}^T + \begin{bmatrix} x - x' \\ y - y' \end{bmatrix}^T \begin{bmatrix} \frac{1}{4a} & 0 \\ 0 & 0 \end{bmatrix} \right) \begin{bmatrix} x - x' \\ y - y' \end{bmatrix} &= 0 \implies \\
 \implies \left\{ \begin{array}{l} y = \frac{(x - x')^2}{4a} + y' \\ \vee \\ x = \sqrt{4a(y - y')} + x' \end{array} \right\} &\implies \\
 \implies y = x^2 \left(\frac{1}{4a} \right) + x \left(\frac{-x'}{2a} \right) + \left(\frac{x'^2}{4a} + y' \right) & \\
 f \in \mathbb{R}^2 : (x', y' + a) & \\
 L \subset \mathbb{R}^2 : y = y' - a &
 \end{aligned}$$

Demonstração

$$\begin{aligned}
 |\vec{p} \vec{f}| &= \sqrt{(x - x')^2 + (y - (a + y'))^2} = \\
 &= |\vec{p} \vec{L}| = \sqrt{(x - x)^2 + (y - (-a + y'))^2} \implies \\
 &\implies (x - x')^2 + ((y - y') - a)^2 = (x - x')^2 + (y - y')^2 - 2a(y - y') + a^2 = \\
 &= ((y - y') + a)^2 = (y - y')^2 + 2a(y - y') + a^2 \implies \\
 &\implies y = \frac{(x - x')^2}{4a} + y' \vee x = \sqrt{4a(y - y')} + x'
 \end{aligned}$$

Partindo da forma reduzida

$$y = \alpha x^2 + \beta x + \gamma \implies$$

$$\implies \left\{ \begin{array}{l} a = (4\alpha)^{-1} \\ x' = -\beta/2\alpha \\ y' = \gamma - x'^2/4\alpha = \gamma - (\beta^2/4\alpha) \end{array} \right\}$$

7.2 Parabolas em \mathbb{R}^3

$$\mathcal{Par}_3 \subset \mathcal{Con}_3 : (\lambda^T + (p - p')A)(p - p') = k \implies$$

$$\implies \left(\begin{bmatrix} 0 \\ 0 \\ -1 \end{bmatrix}^T + \begin{bmatrix} x - x' \\ y - y' \\ z - z' \end{bmatrix}^T \begin{bmatrix} 4a & 0 & 0 \\ 0 & 4b & 0 \\ 0 & 0 & 0 \end{bmatrix} \right) \begin{bmatrix} x - x' \\ y - y' \\ z - z' \end{bmatrix} =$$

$$= 0 \implies z = \frac{(x - x')^2}{4a} + \frac{(y - y')^2}{4b} + z'$$

Demonstração

$$\begin{aligned}
 p \in \{p \in \mathcal{P}ar_3 : y = y'\} &\implies \\
 \implies |\vec{p}f| &= \sqrt{(x - x')^2 + (y' - y')^2 + (z - (z' + a))^2} = \\
 = |\vec{p}\vec{L}| &= \sqrt{(x - x')^2 + (y' - y')^2 + (z - (z' + a))^2} \implies \\
 \implies (x - x')^2 + (z - z')^2 - 2a(z - z') + a^2 &= \\
 = (z - z')^2 + 2a(z - z') + a^2 &\implies \\
 \implies z = \frac{(x - x')^2}{4a} + z' &
 \end{aligned}$$

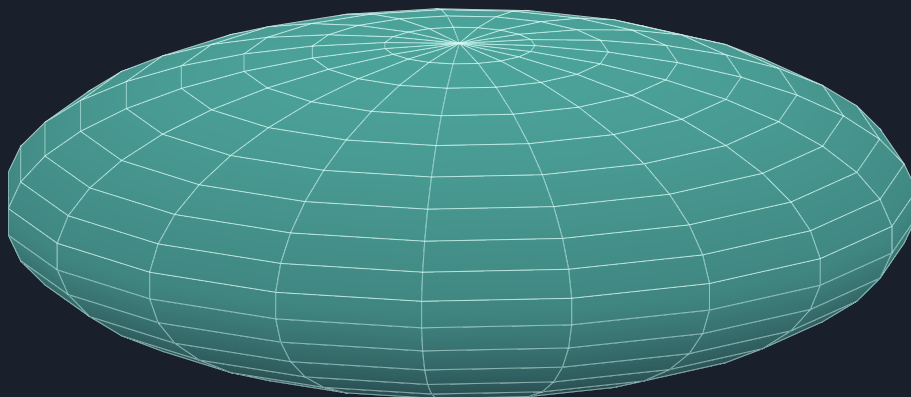
$$\begin{aligned}
 p \in \{p \in \mathcal{P}ar_3 : x = x'\} &\implies \\
 \implies |\vec{p}f| &= \sqrt{(x' - x')^2 + (y - y')^2 + (z - (z' + b))^2} = \\
 = |\vec{p}\vec{L}| &= \sqrt{(x' - x')^2 + (y - y')^2 + (z - (z' + b))^2} \implies \\
 \implies (y - y')^2 + (z - z')^2 - 2b(z - z') + b^2 &= \\
 = (z - z')^2 + 2b(z - z') + b^2 &\implies \\
 \implies z = \frac{(y - y')^2}{4b} + z' &
 \end{aligned}$$

$$\therefore z = \frac{(x - x')^2}{4a} + \frac{(y - y')^2}{4b} + z'$$

Paraboloide Hiperbólico: Possumos um dos termos negativos.

$$\mathcal{P}ar_3 : b < 0 \vee a < 0$$

8 Elipse e Elipsóides



Definição

$$\begin{aligned} \mathcal{E}li_m \subset \mathcal{C}on_m : 0 < e < 1 &\implies \\ \implies |\overrightarrow{f_1 p}| + |\overrightarrow{f_2 p}| = k &\quad (k \in \mathbb{R}) \end{aligned}$$

Uma elipse é o conjunto de pontos em um plano cujas distâncias de dois pontos fixos no plano têm uma soma constante. Os dois pontos fixos são os focos da elipse.

A linha através dos focos de uma elipse é o eixo focal da elipse. O ponto no eixo a meio caminho entre os focos é o centro. Os pontos onde o eixo focal e a elipse se cruzam são os vértices da elipse.

Ecentricidade

$$e = \frac{|\overrightarrow{p' f}|}{\max(|\overrightarrow{p' p}|)}$$

8.1 Elipses em \mathbb{R}^2

$$\begin{aligned}
 \mathcal{E}li_2 \subset \mathcal{C}on_2 : ((p - p')^T A) (p - p') &= 1 \implies \\
 \implies \left(\begin{bmatrix} x - x' \\ y - y' \end{bmatrix}^T \begin{bmatrix} r_1^{-2} & 0 \\ 0 & r_2^{-2} \end{bmatrix} \right) \begin{bmatrix} x - x' \\ y - y' \end{bmatrix} &= 1 \implies \\
 \implies \frac{(x - x')^2}{r_1^2} + \frac{(y - y')^2}{r_2^2} &= 1
 \end{aligned}$$

$$\begin{aligned}
 A \cup \{c\} &\subset \mathbb{R}^+ : c < r_1 < r_2 \\
 r_1 &= |\overrightarrow{p'p}| : p = (\mathbf{max}(x), y') \\
 r_2 &= |\overrightarrow{p'p}| : p = (x', \mathbf{max}(y)) \\
 c &= |\overrightarrow{p'f}| = \sqrt{r_1^2 - r_2^2}
 \end{aligned}$$

$$\begin{aligned}
 f_1 &\in \mathbb{R}^2 : f_1 = (x' - c, y') \\
 f_2 &\in \mathbb{R}^2 : f_2 = (x' + c, y')
 \end{aligned}$$

Demonstração

$$\begin{aligned}
 |\overrightarrow{pf_1}| + |\overrightarrow{pf_2}| &= k \wedge \{f_1, f_2\} \subset \mathbb{R}^2 : |\overrightarrow{p'f}| = c \wedge y = y' \implies \\
 \implies \sqrt{(x - (x' - c))^2 + (y - y')^2} + \sqrt{(x - (x' + c))^2 + (y - y')^2} &= 2r_1 \implies \\
 \implies \frac{x^2}{r_1^2} + \frac{y^2}{r_1^2 - c^2} = 1 \wedge r_2^2 + c^2 = r_1^2 \implies \frac{x^2}{r_1^2} + \frac{y^2}{r_2^2} &= 1
 \end{aligned}$$

8.2 Elipses em \mathbb{R}^3

$$\begin{aligned}
 \mathcal{E}li_3 \subset \mathcal{C}on_3 : ((p - p')^T A)(p - p') = 1 &\implies \\
 \implies \left(\begin{bmatrix} x - x' \\ y - y' \\ z - z' \end{bmatrix}^T \begin{bmatrix} r_1^{-2} & 0 & 0 \\ 0 & r_2^{-2} & 0 \\ 0 & 0 & r_3^{-2} \end{bmatrix} \right) \begin{bmatrix} x - x' \\ y - y' \\ z - z' \end{bmatrix} = 1 &\implies \\
 \implies \frac{(x - x')^2}{r_1^2} + \frac{(y - y')^2}{r_2^2} + \frac{(z - z')^2}{r_3^2} = 1
 \end{aligned}$$

$$\begin{aligned}
 A \cup \{c\} &\subset \mathbb{R}^+ : c < r_1 \wedge r_2 < r_1 > r_3 \\
 r_1 &= |\overrightarrow{p'p}| : p = (\mathbf{max}(x), y', z') \\
 r_2 &= |\overrightarrow{p'p}| : p = (x', \mathbf{max}(y), z') \\
 r_3 &= |\overrightarrow{p'p}| : p = (x', y', \mathbf{max}(z)) \\
 c &= |\overrightarrow{p'f}|
 \end{aligned}$$

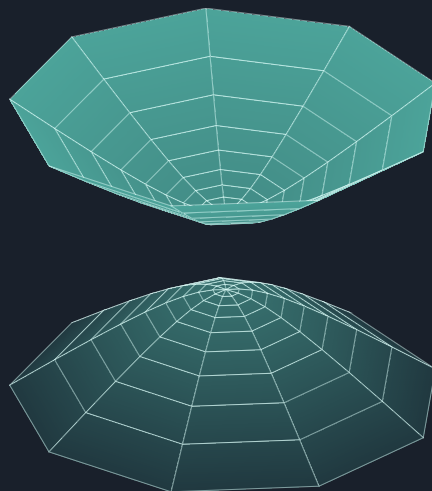
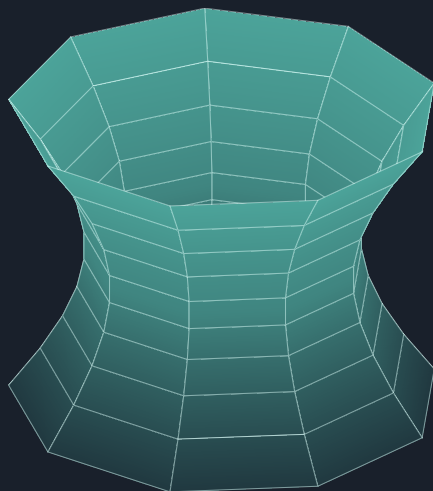
$$\begin{aligned}
 f_1 &\in \mathbb{R}^3 : f_1 = (x' - c, y', z') \\
 f_2 &\in \mathbb{R}^3 : f_1 = (x' + c, y', z')
 \end{aligned}$$

8.3 Parametrização em \mathbb{R}^3

$$\mathcal{E}li_3 \subset \mathbb{R}^3 : e = e' + \lambda \begin{bmatrix} \cos(\theta) \cos(\lambda) \\ \cos(\theta) \sin(\lambda) \\ \sin(\theta) \end{bmatrix}$$

$$\left(\begin{array}{l} e \in \mathcal{E}li_3 \\ \wedge \{e', \lambda\} \subset \mathbb{R}^3 \\ \wedge \{\theta, \lambda\} \subset \mathbb{R} \\ \wedge |\theta| \leq \pi/2 \\ \wedge 0 \leq \lambda \leq 2\pi \end{array} \right) \wedge$$

9 Hiperboles e Hiperbolóides



Definição

$$\begin{aligned} \mathcal{H}ip_m \subset \mathcal{C}on_m : e > 1 &\implies \\ \implies \left| |\overrightarrow{PF_1}| - |\overrightarrow{PF_2}| \right| = k \quad (k \in \mathbb{R}) \end{aligned}$$

Uma hipérbole é o conjunto de pontos em um plano cujas distâncias de dois pontos fixos no plano têm uma diferença constante. Os dois pontos fixos são os focos da hipérbole.

A linha através dos focos de uma hipérbole é o eixo focal. O ponto no eixo a meio caminho entre os focos é o centro da hipérbole. Os pontos onde o eixo focal e a hipérbole se cruzam são os vértices

Eccentricidade

$$e = \left| \overrightarrow{P'F} \right| / \left| \overrightarrow{P'V} \right|$$

9.1 Hipérboles em \mathbb{R}^2

$$\begin{aligned} \mathcal{H}ip_2 \subset \mathcal{C}on_2 : ((P - P')^T A) (P - P') = 1 &\implies \\ \implies \left(\begin{bmatrix} x - x' \\ y - y' \end{bmatrix}^T \begin{bmatrix} 1/r_1^2 & 0 \\ 0 & -1/r_2^2 \end{bmatrix} \right) \begin{bmatrix} x - x' \\ y - y' \end{bmatrix} = 1 &\implies \\ \implies \left(\frac{x}{r_1} \right)^2 - \left(\frac{y}{r_2} \right)^2 = 1 \end{aligned}$$

$$c = |\overrightarrow{P'F}| = \sqrt{r_1^2 + r_2^2}$$

$$V = (x' \pm r_1, y')$$

$$f = (x' \pm c, y')$$

Demonstração

$$\begin{aligned}
 2r_1 &= |PF_2| - |PF_1| = \\
 &= \sqrt{(x - (x' - c))^2 + (y - y')^2} - \sqrt{(x - (x' + c))^2 + (y - y')^2} \Rightarrow \\
 &\Rightarrow \left(2r_1 + \sqrt{(x - (x' + c))^2 + (y - y')^2} \right)^2 = \\
 &= 4r_1^2 + 4r_1 \sqrt{(x - x' - c)^2 + (y - y')^2} + ((x - (x' + c))^2 + (y - y')^2) = \\
 &= 4r_1^2 + 4r_1 \left(\sqrt{\frac{(x - x')^2}{+(y - y')^2} - 2c(x - x') + c^2} \right) + \begin{pmatrix} +(x - x')^2 \\ -2c(x - x') \\ +c^2 \\ +(y - y')^2 \end{pmatrix} = \\
 &= \left(\sqrt{(x - (x' - c))^2 + (y - y')^2} \right)^2 = \begin{pmatrix} (x - x')^2 \\ +2c(x - x') \\ +c^2 \\ +(y - y')^2 \end{pmatrix} \Rightarrow
 \end{aligned}$$

$$\begin{aligned}
&\Rightarrow \frac{c(x-x')}{r_1} - r_1 = \sqrt{\frac{(x-x')^2}{-2c(x-x') + c^2 + (y-y')^2}} \Rightarrow \\
&\Rightarrow \left(\frac{c(x-x')}{r_1} - r_1 \right)^2 = \left(\frac{\frac{c^2(x-x')^2}{r_1^2}}{-2c(x-x') + c^2 + r_1^2} \right) = \left(\frac{(x-x')^2}{-2c(x-x') + c^2 + (y-y')^2} \right) \Rightarrow \\
&\Rightarrow \left(\frac{x-x'}{r_1} \right)^2 (c^2 - r_1^2) - (y-y')^2 = c^2 - r_1^2 \Rightarrow \\
&\Rightarrow \left(\frac{x-x'}{r_1} \right)^2 - \left(\frac{y-y'}{\sqrt{c^2 - r_1^2}} \right)^2 = \left(\frac{x-x'}{r_1} \right)^2 - \left(\frac{y-y'}{r_2} \right)^2 = 1
\end{aligned}$$

(i) Assintotas

$$A(\mathcal{H}ip_2) = \left\{ (x, y) : (y - y') = \pm \frac{r_2}{r_1} (x - x') \right\}$$

9.2 Hipérboles em \mathbb{R}^3

Hiperbole de 1 folha

$$\left(\begin{bmatrix} x \\ y \\ z \end{bmatrix}^T \begin{bmatrix} 1/a^2 & 0 & 0 \\ 0 & 1/b^2 & 0 \\ 0 & 0 & -1/c^2 \end{bmatrix} \right) \begin{bmatrix} x \\ y \\ z \end{bmatrix} = 1 \Rightarrow$$

$$\Rightarrow \frac{x^2}{a^2} + \frac{y^2}{b^2} - \frac{z^2}{c^2} = 1$$

Hiperbole de 2 folhas

$$\left(\begin{bmatrix} x \\ y \\ z \end{bmatrix}^T \begin{bmatrix} 1/a^2 & 0 & 0 \\ 0 & -1/b^2 & 0 \\ 0 & 0 & -1/c^2 \end{bmatrix} \right) \begin{bmatrix} x \\ y \\ z \end{bmatrix} = 1 \Rightarrow$$

$$\Rightarrow \frac{x^2}{a^2} - \frac{y^2}{b^2} - \frac{z^2}{c^2} = 1$$

(i) Equações paramétricas para \mathbb{R}^3

única folha

$$\begin{cases} x = a \cosh(v) \cos(\theta) \\ y = b \cosh(v) \sin(\theta) \\ z = c \sinh(v) \end{cases}$$

$$\begin{cases} v \in (-\infty, \infty) \\ \theta \in [0, 2\pi) \end{cases}$$

duas folhas

$$\begin{cases} x = a \sinh(v) \cos(\theta) \\ y = b \sinh(v) \sin(\theta) \\ z = \pm c \cosh(v) \end{cases}$$

$$\begin{cases} v \in [0, \infty) \\ \theta \in [0, 2\pi) \end{cases}$$